

金沢大学工学部 正員 柳場重正  
 金沢大学理学部 正員 杉浦精治  
 金沢大学工学部 正員 岸村謙紀

## 1. まえがき

ソイルセメントの力学的諸性質に影響をおよぼす要因の1つとしてセメントと粘土鉱物の相互作用があげられるが、この問題については現在のところポルトラニドセメントの水和により生ずる  $\text{Ca}(\text{OH})_2$  と粘土鉱物の反応が重要な役割をはたしていると考えられてゐる。しかし反応の本質およびそのような相互作用と強度の関係については不明な点が多い。ここでは  $20^{\circ}\text{C}$  におけるポルトラニドセメントと粘土鉱物の相互作用の機構を一軸圧縮強度との関連において明確することを目的として行なつてゐる研究のうち91日材令までの結果について報告する。

## 2. 実験概要

### (1) 使用材料および試料

使用セメントは普通ポルトラニドセメントである。粘土鉱物試料はベントナイト(関東ベントナイト社製), カオリナイト(兵庫県平木産), セリサイト(石川県服部鉱山産)であり, 自然土として金沢市卯辰山産粘性土を使用した。使用試料のあらは含有粘土鉱物ならびに物理的性質は表-1に示す通りである。カオリナイト, セリサイトは粘土鉱物含有岩石をボールミルによって250μm以下の通過するまで粉碎したものである。使用水はすべて蒸留水である。

### (2) 実験項目および供試体の種類

本研究で行なつてある実験はつきの5項目である。  
 ①一軸圧縮強度試験, ②pHの測定, ③X線回折,  
 ④示差熱分析, ⑤偏光顕微鏡による組織の観察  
 使用試料として表-1に示される5種類, セメント量10%, 20%, 30%, 材令は3日, 7日, 14日, 28日, 91日である。

### (3) 実験方法

#### ①一軸圧縮強度試験

供試体寸法は直徑5cm, 高さ10cmの円柱体である。あらかじめ求められた最大乾燥密度(JIS A 1210 (d2))によるように静的綿密めによつて供試体を作製した。供試体は成型後, 炭酸化を防ぐために高吸紙, パラフィンで密封し, 所定期間中温度 $20^{\circ}\text{C}$ , 相対湿度85%の恒温恒湿室中で養生した。載荷速度は0.2kg/cm<sup>2</sup>/secである。

表-1 試料粘土の物理的性質

試料名	カオリナイト(KA)	自然土(O)	セリサイト(Sx)	セリサイト(Sz)	ベントナイト(B)
おもな 粘土鉱物	カオリナイト (石英) セリサイト (石英) カオリナイト (石英)	モモロシカット 12.1 カオリナイト (石英)	セリサイト パラホウスト (石英)	セリサイト パラホウスト (石英)	モモロシカット (クリストバル)
比重	2.577	2.541	2.566	2.540	2.000
三輪度 および分類	47.7 47.7 47.7	シリカ ローラー	シリカ ローラー	粘土	粘土
砂分(%)	58	4	25	26	0
泥分(%)	35	93	58	42	15
粒上分(%)	7	3	17	32	85
L.L.(%)	25.3	63.4	30.5	28.4	328.0
A.L.(%)	17.3	30.9	21.8	20.7	41.4
P.I.	8.0	32.5	8.7	7.7	276.6
最高全 水比(%)	15.7	31.5	15.8	15.7	50.0
最大乾燥 密度(g/dm <sup>3</sup> )	1.842	1.371	1.770	1.842	1.015

## ② pH の測定

①の試験終了後、供試体の断片を乳バケでクダム3.3リと通過するまで粉碎した試料10gと蒸留水50ccを分散装置で10分間かくはんした。その後ろ温した浸出液について、ガラス電極pH計HM-5A(東亜電波工業製)によってpH値を求めた。

## ③ X線回折

指頭に感じなくなるまで乳バケで粉碎した試料をX線ディフラクトメータ(Cu K $\alpha$ , Naフュルタ, 30KV, 15mA, Scanning Speed 2°/min.)によって調べた。

## ④ 示差熱分析

③と同じ試料についてデリバートグラフ(アルミナ標準試料, 容器は白金, 試料重量1000mg, 热電対の材質は白金ロジウム)によってDTA曲線を得た。加熱速度は10°C/min.である。

## ⑤ 薄片の作製

強度用供試体の断片を30°Cで3時間炉中で乾燥した後尿素ホルムアルデヒド樹脂で処理し厚さ3mmまでけんまし作製した。

## 3. 実験結果および考察

### (1) 一軸圧縮強度

各セメント量。供試体の一軸圧縮強度( $f_1$ )をたて軸(普通目盛), 横軸(対数目盛)に養生日数(t)をとると図-1, 図-2, 図-3のようになる。

セメント量30%では28日材令まではすべての試料は $\log f_1$ と $\log t$ は直線関係にある(図-1参照)が, 91日材令まで直線性をもつのはカオリナイトセメントおよびセリサイト(I)-セメントである。28日材令まではカオリナイト, セリサイト(I), セリサイト(II), 自然土, ベニトナイトの順にこう配は小さい。これは強度の増加割合が試料によって異なることを示す。セメント量20%は30%の場合とほとんど同様な傾向を示す。セメント量10%では図-3のようになりカオリナイトが他のくらべて非常に大きな値を示し, セリサイト, 自然土, ベニトナイトはたがいにはほぼ平行な直線となる。セメント量10%試料の特徴はベニトナイトにおける30%, 20%にみられるように14日または28日以後にかけ311.5%もし1强度増加がなむことである。

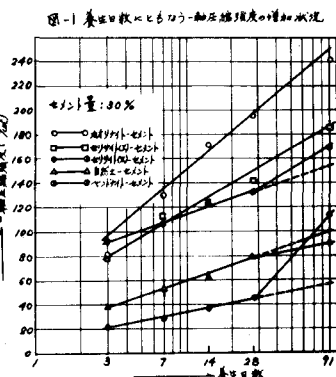


図-1 養生日数による一軸圧縮強度の増加状況

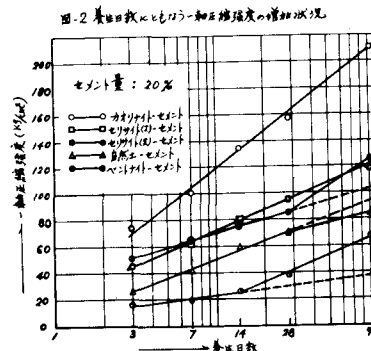


図-2 養生日数による一軸圧縮強度の増加状況

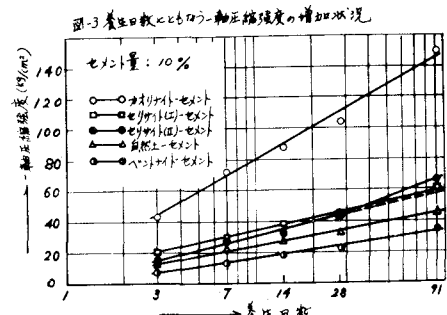


図-3 養生日数による一軸圧縮強度の増加状況

## (2) pH 值

測定 pH 値をまとめるとセメント量 30% のものについては図-4 のようになる。この図からわかるように、カオリナイト、セリサイトではセメントペーストと同様に 91 日までは多少増加し、その後 200 日にかけて少し減少する。ベニトナイト-セメントは 14 日まで増加し、その後 28 日、91 日、200 日と急速に低下する。自然土もクリンソーティングによって低下する傾向を示す。

### (3) X 緑回折

(a) ベニトナイトセメント

3月、28日、91日放糞における  
X線回折図は図-5に示す(セメ  
ニト量 30 %)。図-5にお  
いて、 $2.67\text{ \AA}$  の C3S のビ  
ークの高さは次第に低くなり、  
遂に  $3.07\text{ \AA}$  の CSH (gel) の  
ビークが強くなる。

## (b) カオリナイト-セメント

以上述べたセメント量にありても  
 $C_3S$ のピークは日数とともに高  
 さが低下する。また3日より  
 $CSH(gel)$ のピークは少くめら  
 くなるが、日数によるピークの高  
 $CSH(gel)$ のピークの高さは

(c) セリサイト-セメニト

カオリナイト-セメントとほぼ同様な傾向を示すが、カオリナイトの場合にくらべて全体的に非常に高い水酸化カルシウムの  $2.628 \text{ \AA}$  におけるピークがみられる。水酸化カルシウムの  $2.628 \text{ \AA}$  におけるピークの存在の有無をより明確にするために表-2を作製した。

#### (4) 示差熱分析

ここではカオリナイトのセメント量 30 % の試料について 3 日、 7 日、 14 日、 28 日、 91 日の DTA 曲線を図-6 に、セリサイトのセメント量 30 % で 28 日、 91 日材令の DTA 曲線を図-7 に示す。

(a) カオリナイト-セメント

カオリナイトの特徴を示すピークの他に3日～91日を通じて、 $500\text{--}520^\circ\text{C}$ における水酸化カルシウムの吸熱ピークがみられ、また7日以後には  $\text{C}_4\text{AH}_{13}$

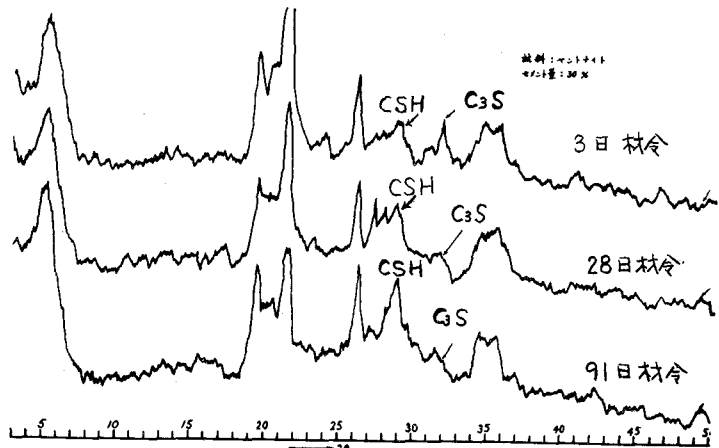
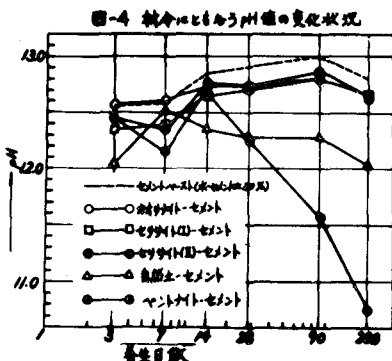


図-5 ベントナイト-セメント(セメント量30%)の材令に応じたX線回折図の変化

卷-2

試験 件名	日付	令(日)			
		3	7	14	28
カオリナイト	1/24 1/29 30 1/30	○ ○ ○ ○	○ ○ ○ ○	○ ○ ○ ○	○ ● ● ●
セリサイド	1/26 20 20 30 1/30	○ ● ● ● ○	○ ● ● ● ○	○ ● ● ● ○	○ ● ● ● ○
セリサイド上(II)	1/26 20 20 20 1/30	○ ● ● ● ○	○ ● ● ● ○	○ ● ● ● ○	○ ● ● ● ○
ベントナイト	1/26 20 30 1/30	○ ○ ○ ○	○ ○ ○ ○	○ ○ ○ ○	○ ○ ○ ○
自然土	1/26 24 24 1/26	○ ○ ○ ○	○ ○ ○ ○	○ ○ ○ ○	○ ○ ○ ○

のものと思われる  $170 \sim 190^{\circ}\text{C}$  の吸熱ピークのいくつかがみとめられる。

#### (6) セリサイト-セメント

曲線の特徴はカオリナイト-セメントとほとんど同じである(図-7参照)。

#### (5) 顕微鏡による観察

写真-1および写真-2はそれぞれ28日および91日におけるベニトナイト-セメント(セメント量30%)の薄片の顕微鏡写真である。材令28日の写真-1には綿毛状のゲル状物質が観察されるが、材令91日の写真-2にはそのようなゲル状物質はみられない。

#### 4. 結論

以上の各実験から推察される点をまとめるとつきのようになる。

#### (1) ベニトナイト-セメントではいすず水の試料にも結晶

性の  $\text{Ca}(\text{OH})_2$  がみとめられぬ。これはセメントの水和が粘土の存在で制限されるためか、あるいは  $\text{Ca}(\text{OH})_2$  がベニトナイトによって消費されたためかのいすれかと考えられるがモニモリロナイトとの相互作用によって CSH(gel) になつたとみる方が妥当である。

#### (2) 各粘土鉱物の向てポルトラニドセメントとの相互作用の程度にかけりの違いがある。

写真-1 ベニトナイト-セメント(セメント量30%)の28日材令における薄片の偏光顕微鏡写真

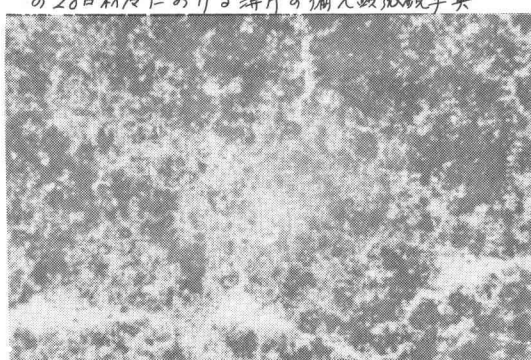


写真-2 ベニトナイト-セメント(セメント量30%)の91日材令における薄片の偏光顕微鏡写真

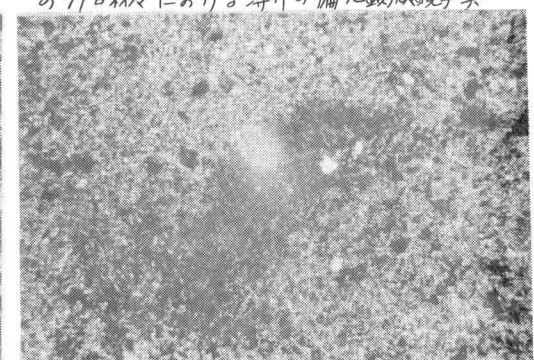
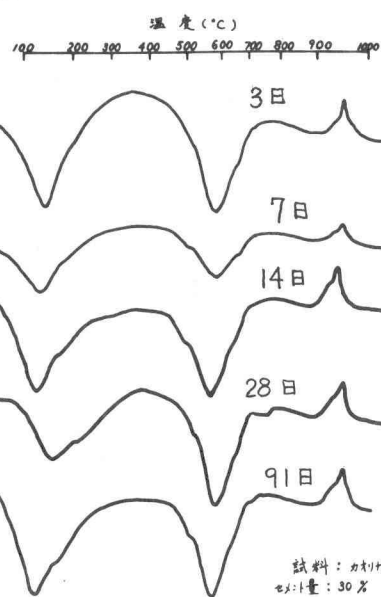


図-6 カオリナイト-セメントのD.T.A.曲線



試料: カオリナイト  
セメント量: 30%

図-7 セリサイト-セメントの28日、91日材令における DTA 曲線



28日材令

91日材令

試料: セリサイト(I)  
セメント量: 30%